

Nombre del Producto: Anticuerpo monoclonal de ratón TNFSF11**Nº de Catálogo: AMM81937**

Solo para uso en investigación.

Resumen

Descripción	Anticuerpo monoclonal de ratón
Huésped	Ratón
Aplicación	WB,IHC,ICC,ELISA,FC
Reactividad	Humano, Ratón, Rata, Mono, Conejo
Conjugación	No conjugado
Modificación	Sin modificar
Isotipo	Mouse IgG1
Clonalidad	Monoclonal
Formato	Líquido
Concentración	1 mg/ml
Almacenamiento	Hacer alícuotas y almacenar a -20°C (válido por 12 meses). Evitar ciclos de congelación/descongelación.
Envío	Bolsas de hielo
Tampon	Anticuerpo purificado en PBS con azida sódica al 0,05 %
Purificación	Purificación por afinidad

Aplicación

Relación de Dilución	WB 1:500-1:2000,IHC 1:100-1:500,ICC 1:50-1:500,ELISA 1:5000-1:20000,FC 1:200-1:400
Peso Molecular	35.5kDa

Información del Antígeno

Nombre del Gen	TNFSF11
Nombres Alternativos	CD254; ODF; OPGL; sOdf; OPTB2; RANKL; TNLG6B; TRANCE; hRANKL2
ID del Gen	8600.0
ID SwissProt	O14788
Inmunógeno	Fragmento recombinante purificado de TNFSF11 humano (AA: 74-308) expresado en E. Coli.

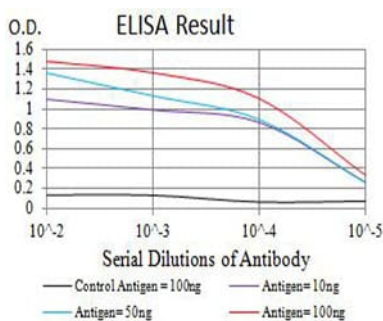
Antecedentes

Este gen codifica un miembro de la familia de citocinas del factor de necrosis tumoral (TNF), que es un ligando de la

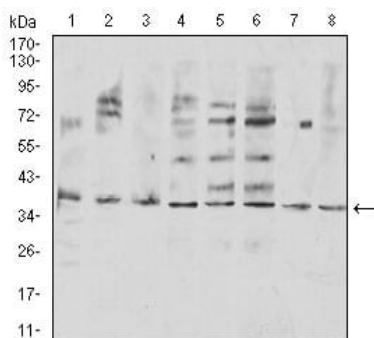
osteoprotegerina y funciona como un factor clave para la diferenciación y activación de los osteoclastos. Se ha demostrado que esta proteína es un factor de supervivencia de las células dendríticas y participa en la regulación de la respuesta inmunitaria dependiente de las células T. Se ha descrito que la activación de las células T induce la expresión de este gen y conduce a un aumento de la osteoclastogénesis y la pérdida ósea. Se ha demostrado que esta proteína activa la quinasa antiapoptótica AKT/PKB a través de un complejo de señalización que involucra a la quinasa SRC y al factor asociado al receptor del factor de necrosis tumoral (TRAF) 6, lo que indica que esta proteína podría desempeñar un papel en la regulación de la apoptosis celular. La interrupción dirigida del gen relacionado en ratones provocó osteopetrosis grave y una falta de osteoclastos. Los ratones deficientes mostraron defectos en la diferenciación temprana de los linfocitos T y B, y no pudieron formar estructuras mamarias lobuloadveolares durante el embarazo. Se han encontrado dos variantes de transcripción con empalme alternativo.

Área de Investigación

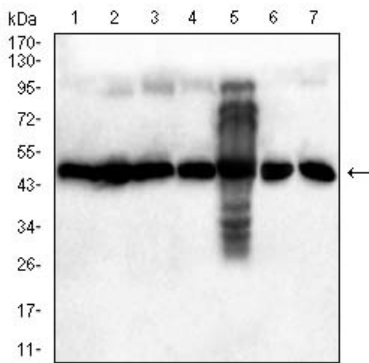
Datos de Imagen



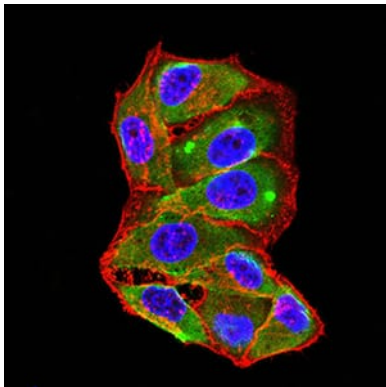
Línea negra: Antígeno de control (100 ng); Línea morada: Antígeno (10 ng); Línea azul: Antígeno (50 ng); Línea roja: Antígeno (100 ng)



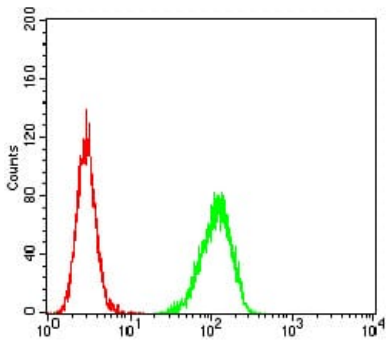
Análisis de transferencia Western utilizando mAb de ratón TNFSF11 contra lisado de células COS7 (1), Hela (2), U937 (3), HL-60 (4), Raji (5), Ramos (6), Jurkat (7) y SW480 (8).



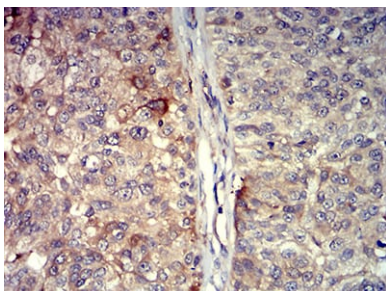
Análisis de transferencia Western utilizando mAb de ratón TNFSF11 contra lisado de células PC-12(1)NIH/3T3(2)C2C12(3)C6(4)L1210(5)F9(6)COS-7(7).



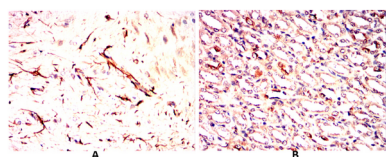
Análisis de inmunofluorescencia de células HeLa con mAb de ratón TNFSF11 (verde). Azul: Colorante fluorescente de ADN DRAQ5. Rojo: Los filamentos de actina se han marcado con Alexa Fluor-555 faloidina.



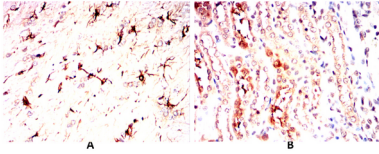
Análisis citométrico de flujo de células HeLa utilizando mAb de ratón TNFSF11 (verde) y control negativo (rojo).



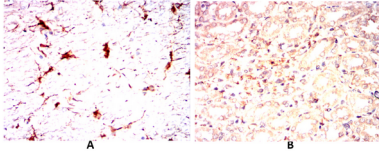
Análisis inmunohistoquímico de tejidos de cáncer de vejiga humano incluidos en parafina utilizando mAb de ratón TNFSF11 con tinción DAB.



Análisis inmunohistoquímico de cerebro de ratón (A) y riñón de ratón (B) incluidos en parafina utilizando mAb de ratón TNFSF11 con tinción DAB.



Análisis inmunohistoquímico de cerebro de rata (A) y riñón de rata (B) incluidos en parafina utilizando mAb de ratón TNFSF11 con tinción DAB.



Análisis inmunohistoquímico de cerebro de conejo (A) y riñón de conejo (B) incluidos en parafina utilizando mAb de ratón TNFSF11 con tinción DAB.